

Fig. 1

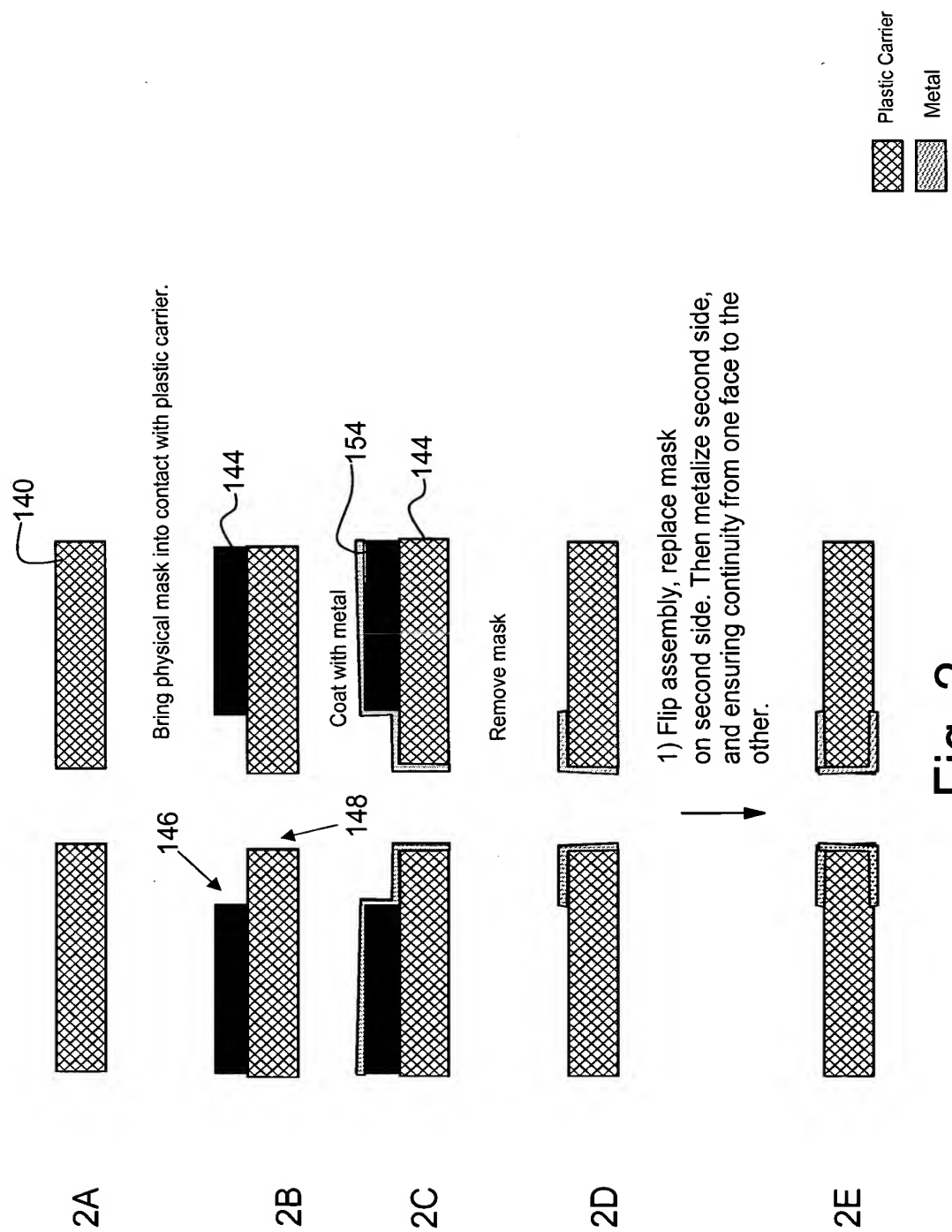
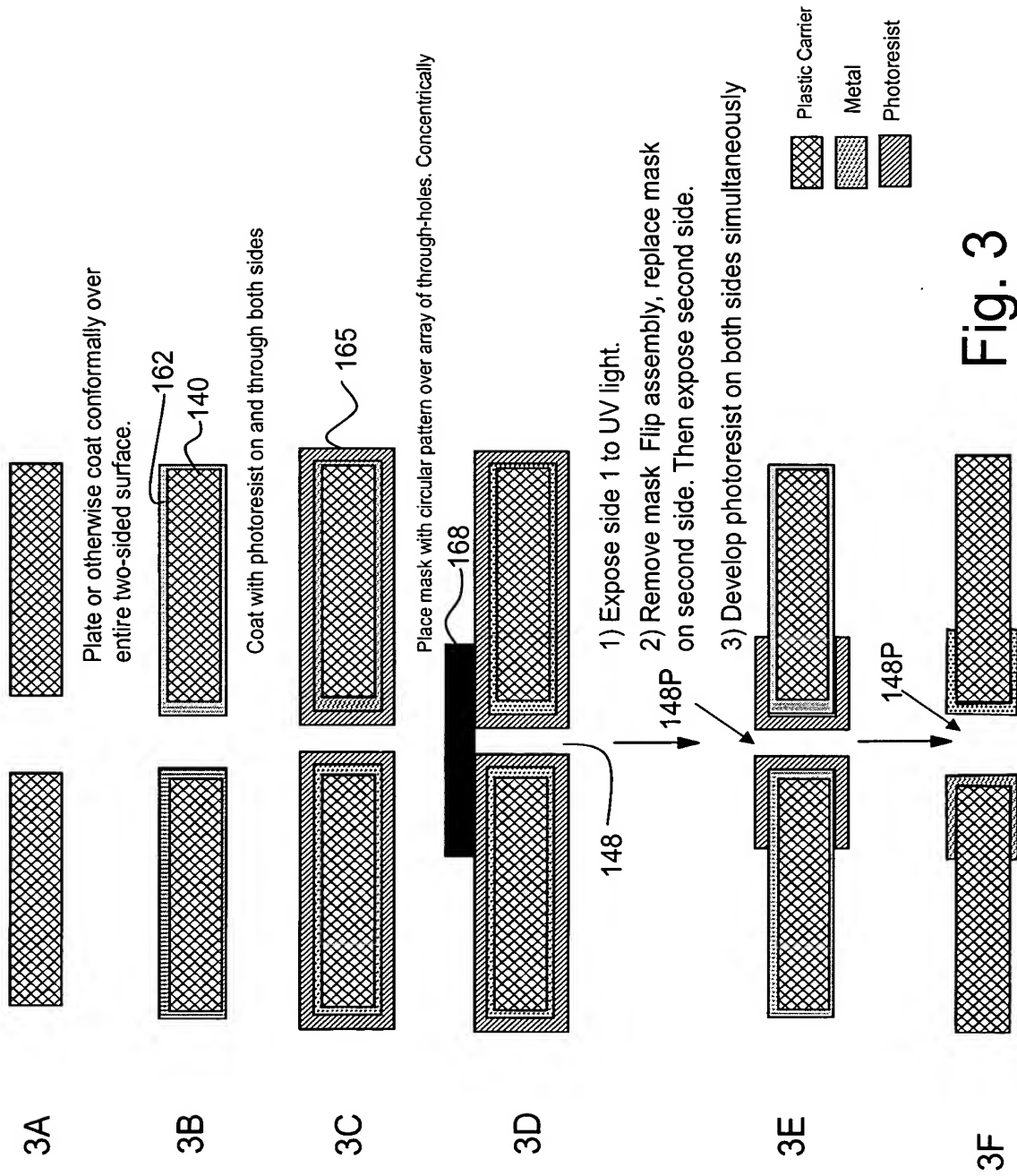


Fig. 2



(continued from Figs. 2 and 3

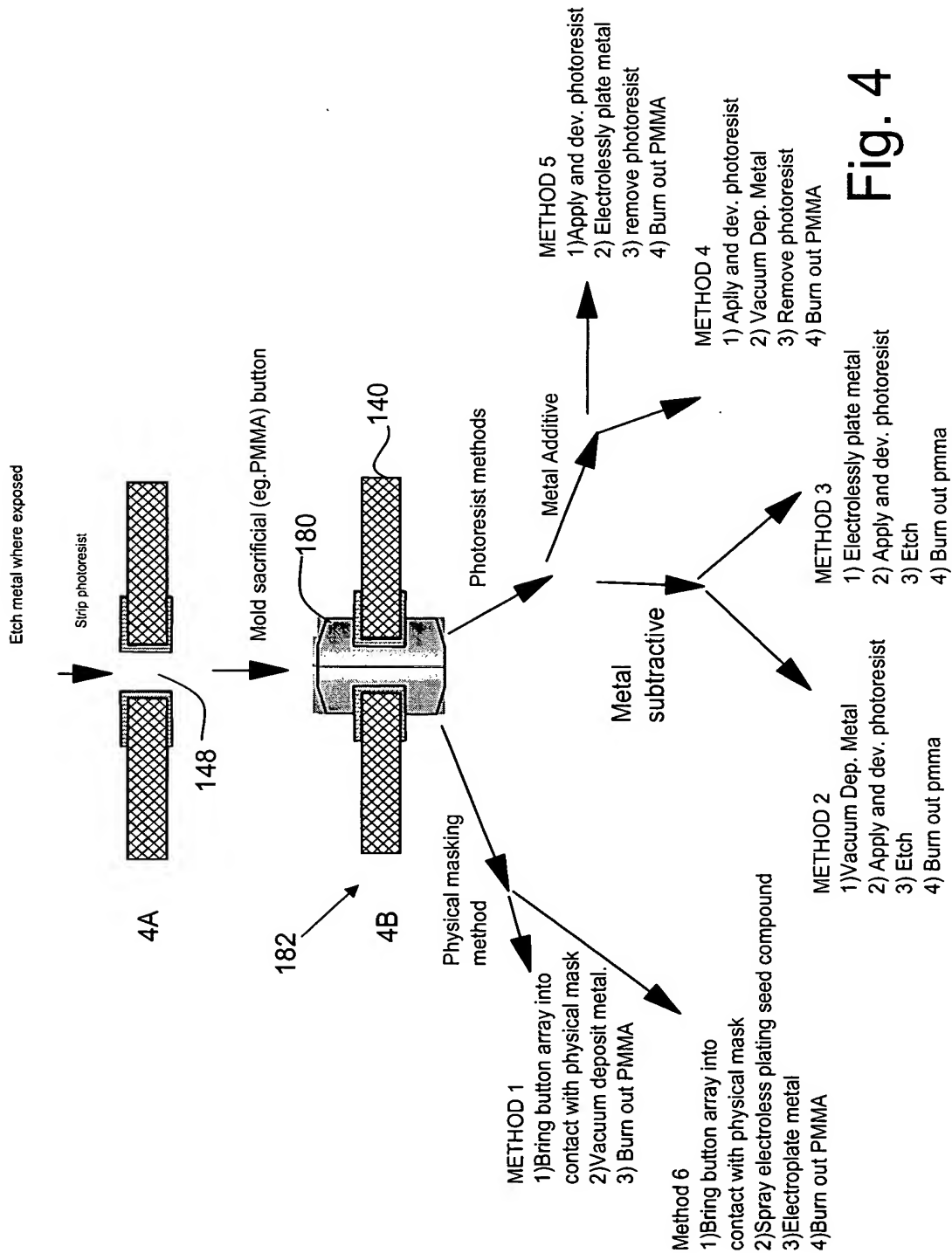


Fig. 4

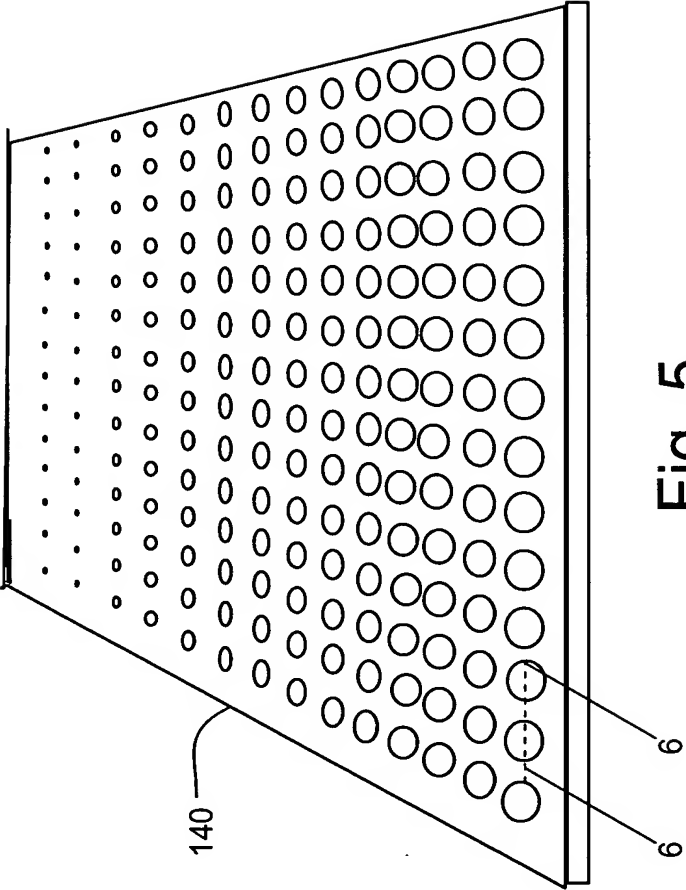


Fig. 5



Fig. 6

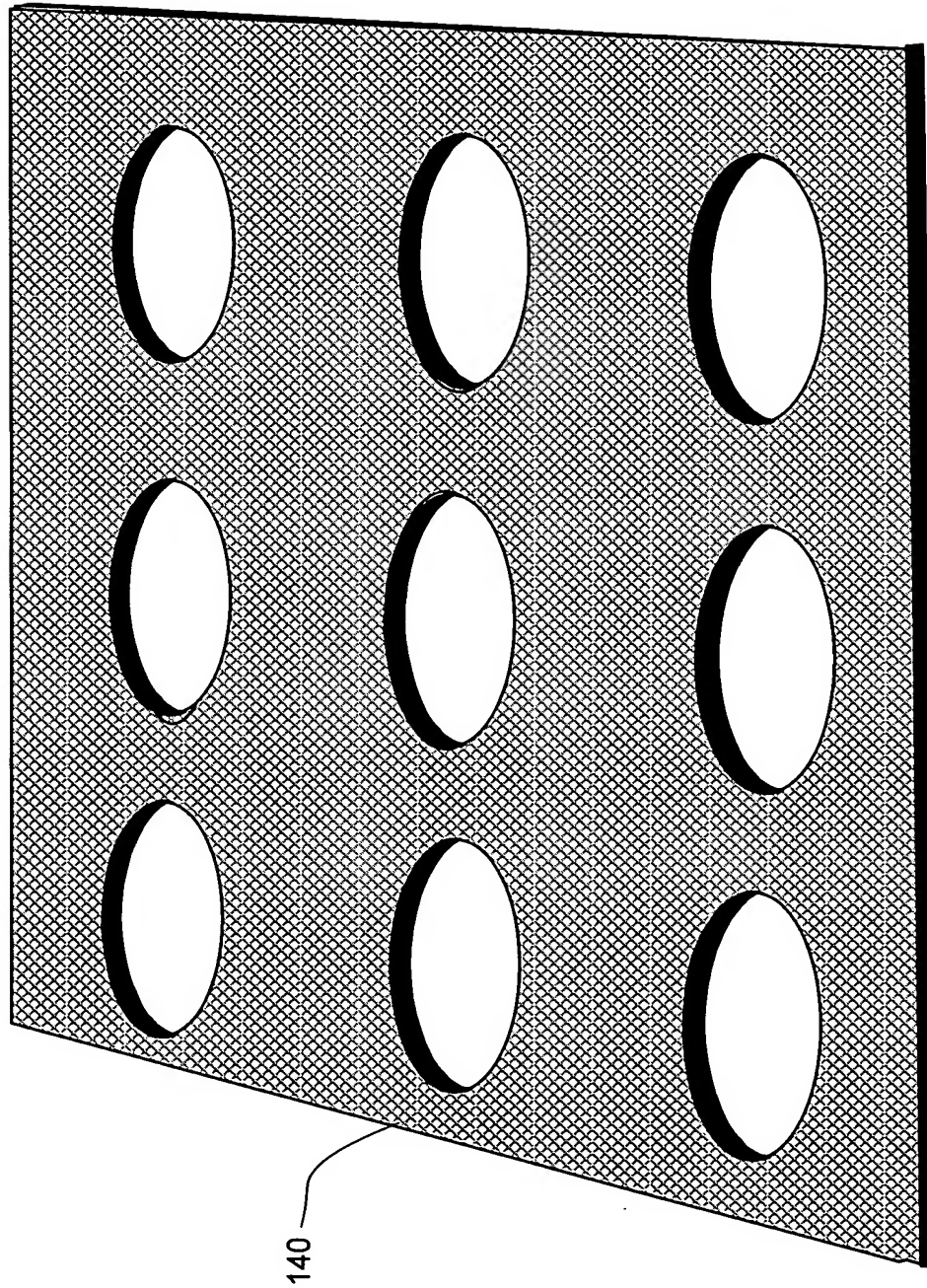


Fig. 7

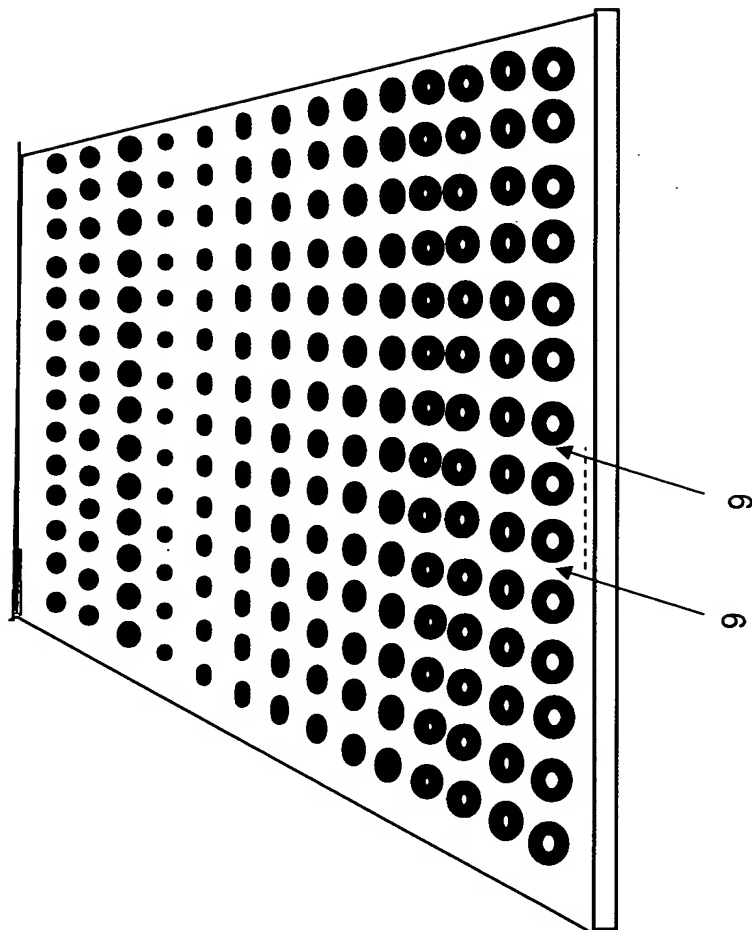


Fig. 8

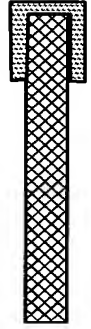
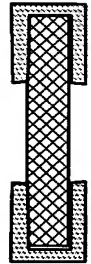
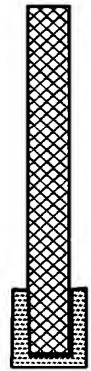


Fig. 9

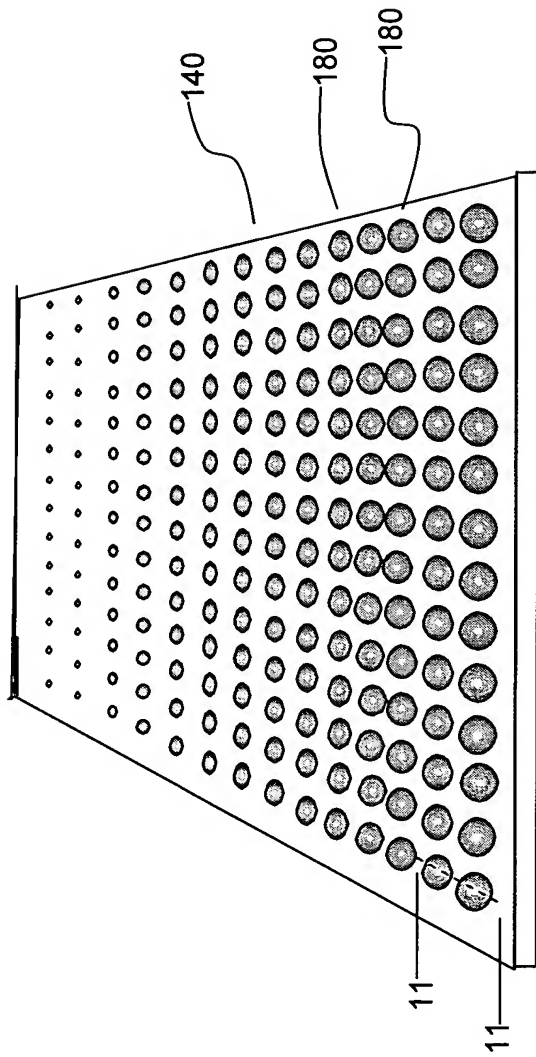


Fig. 10

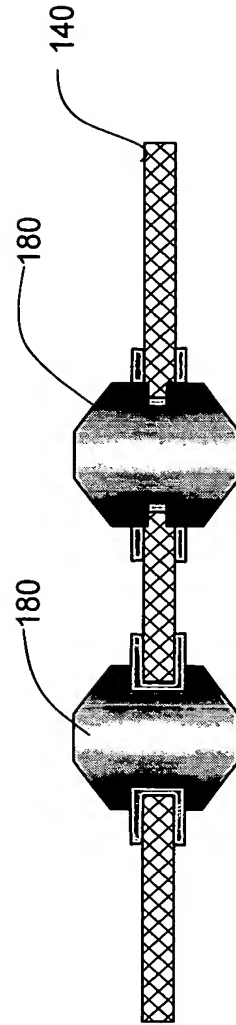


Fig. 11

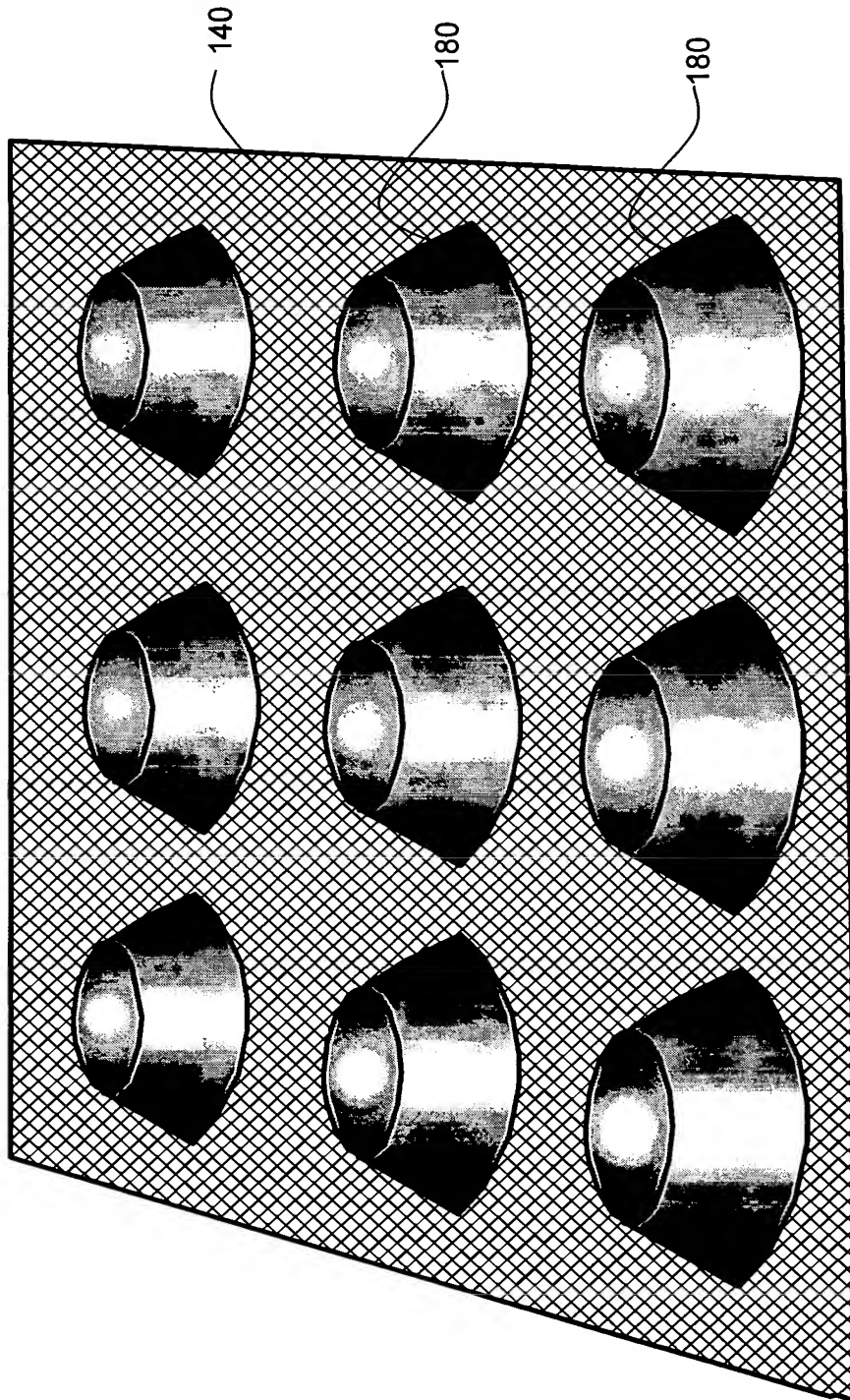


Fig. 12

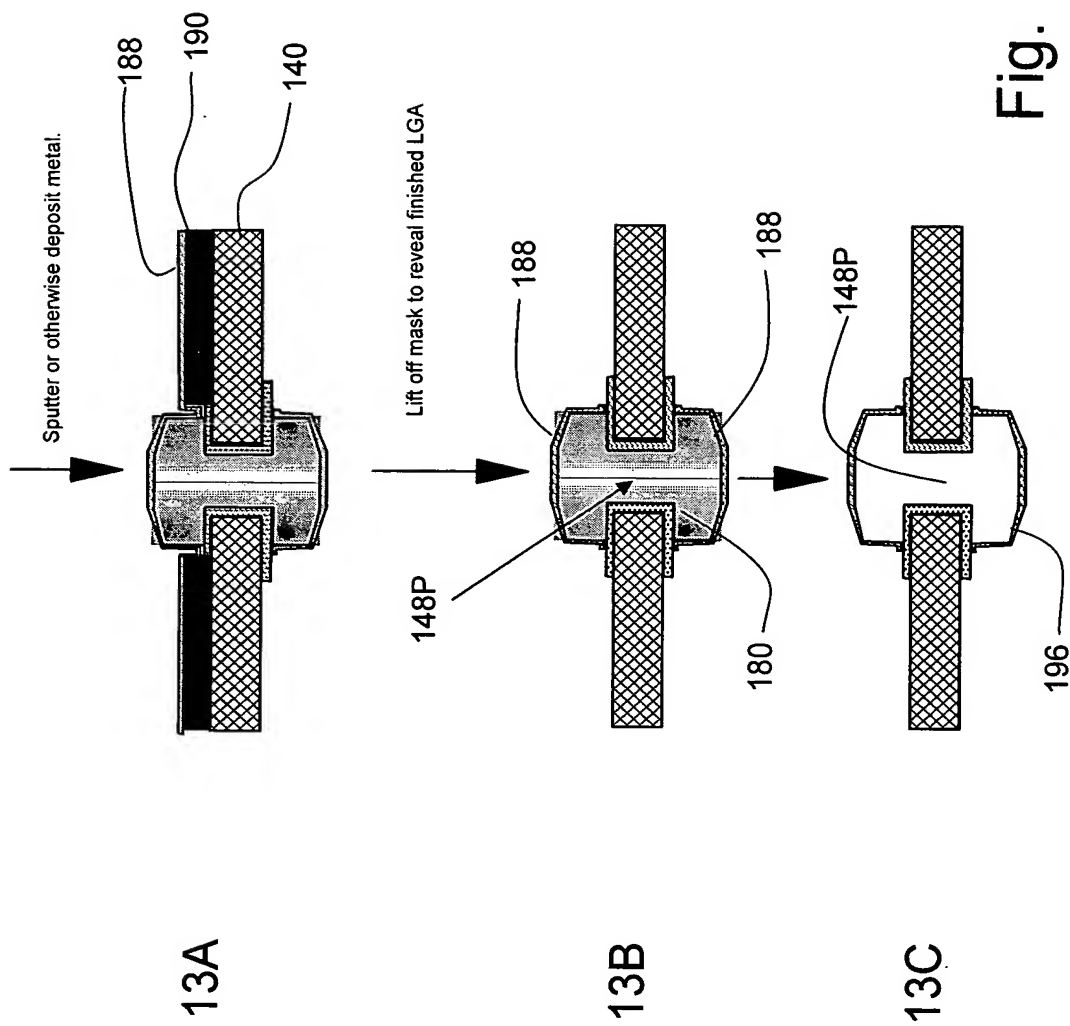


Fig. 13

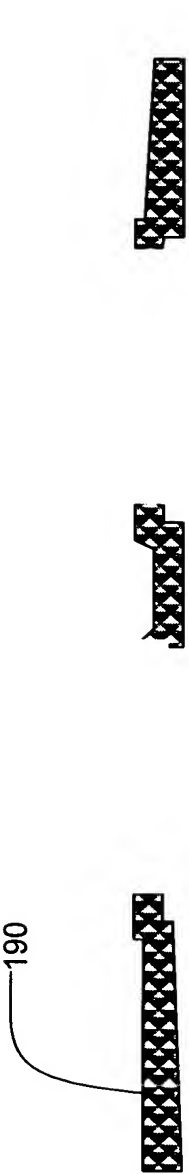


Fig. 14

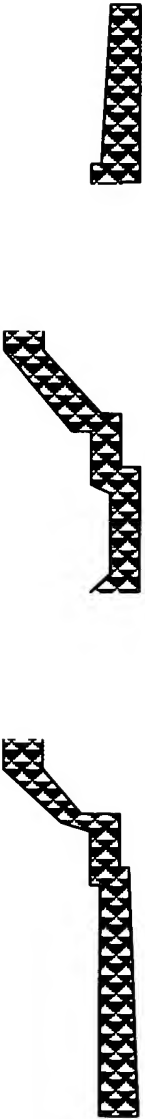


Fig. 15

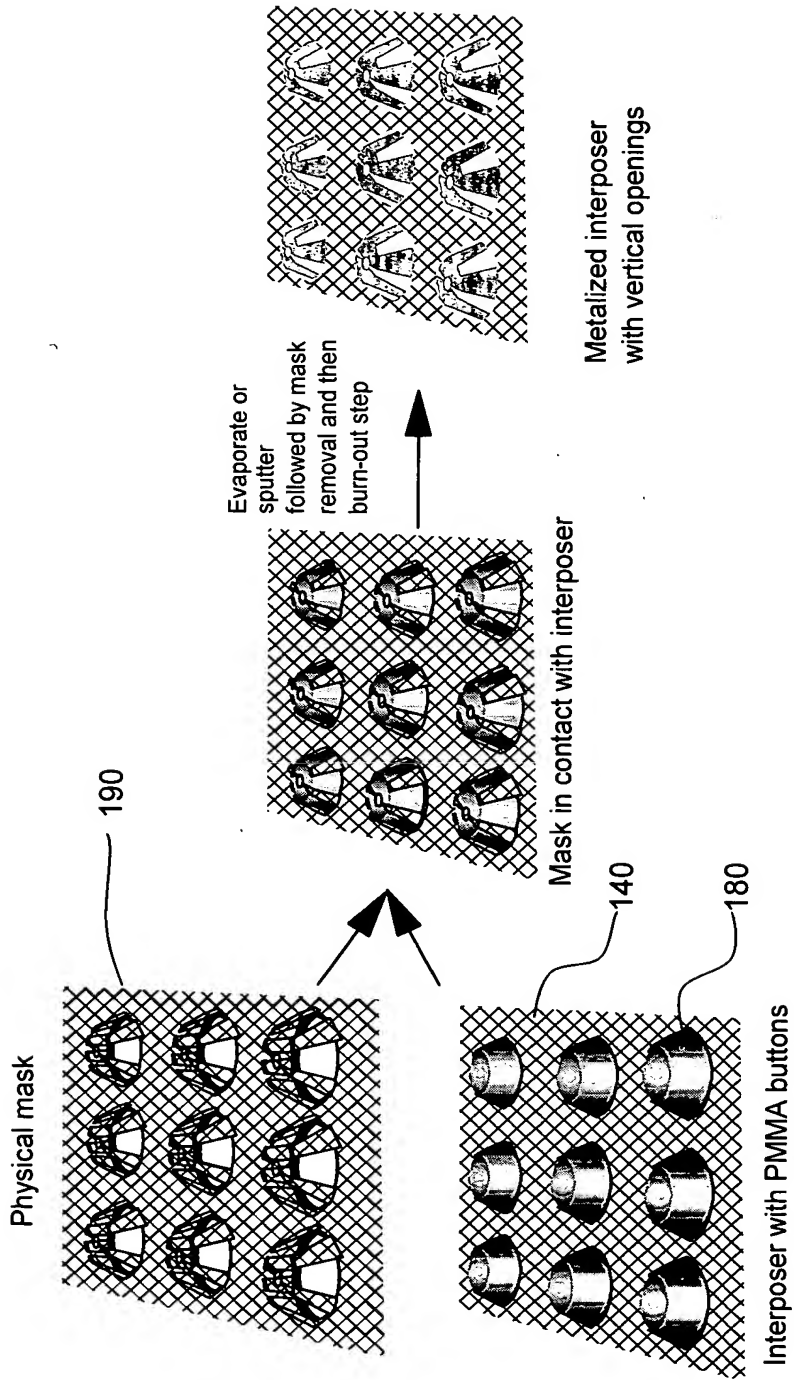


Fig. 16

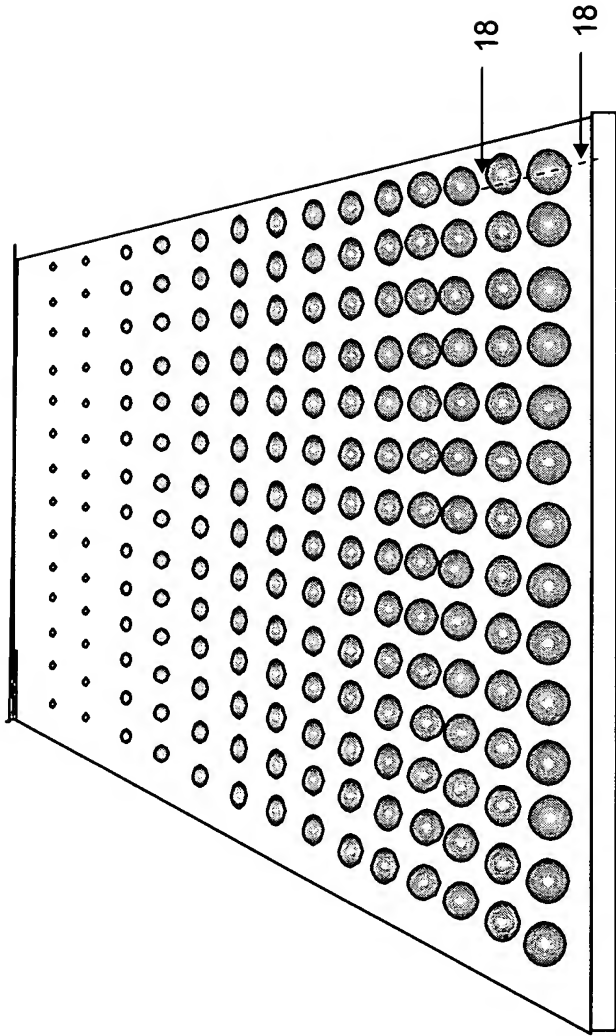


Fig. 17

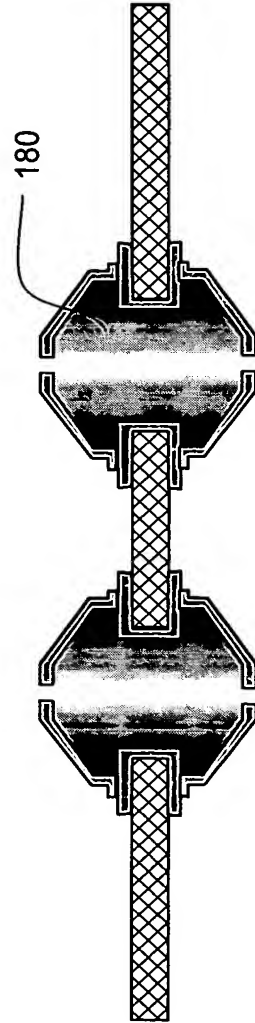


Fig. 18

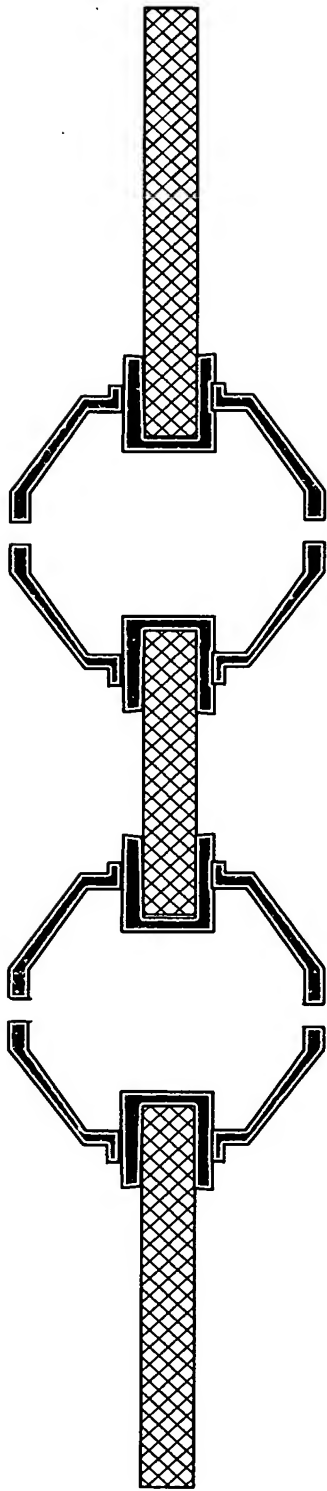


Fig. 19

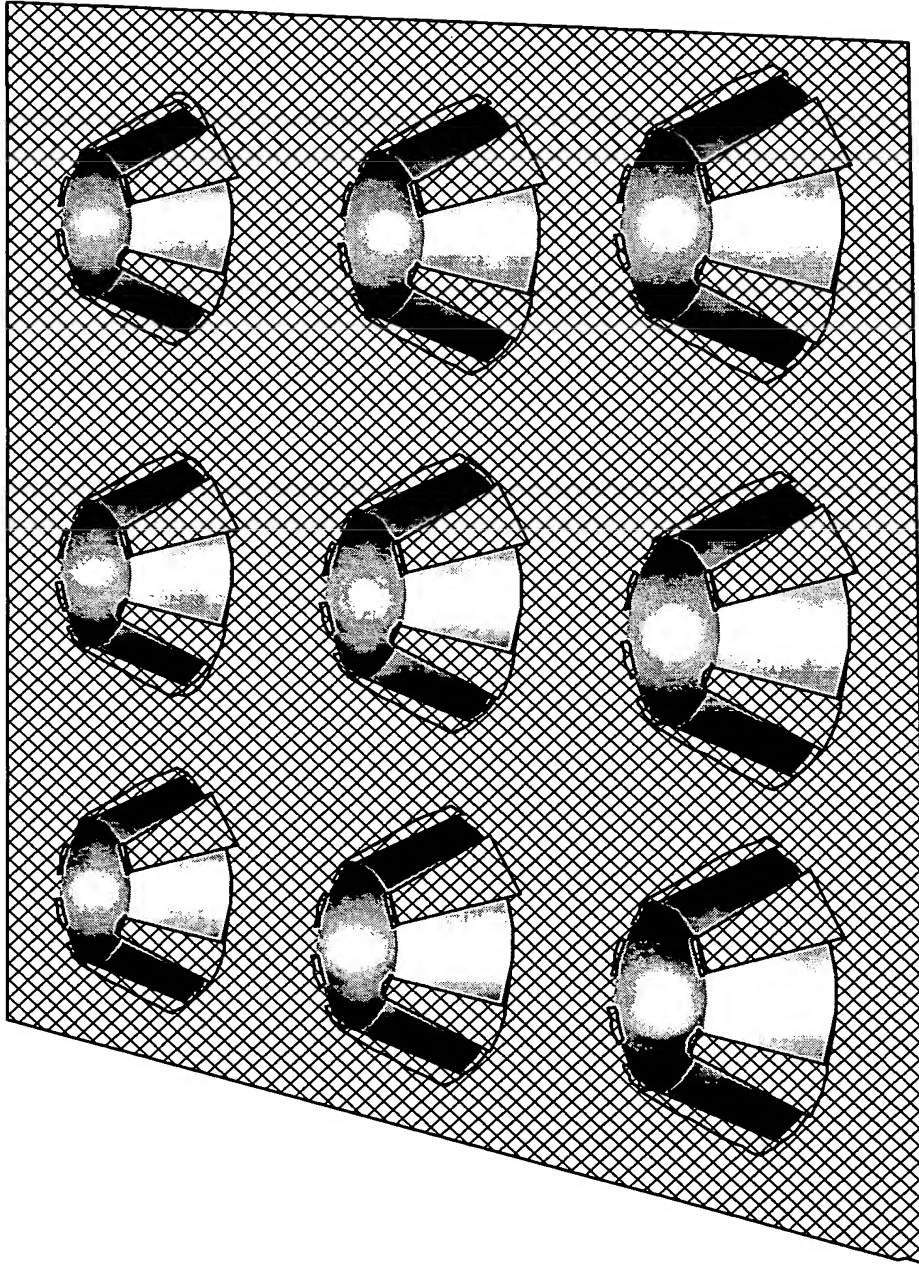


Fig. 20

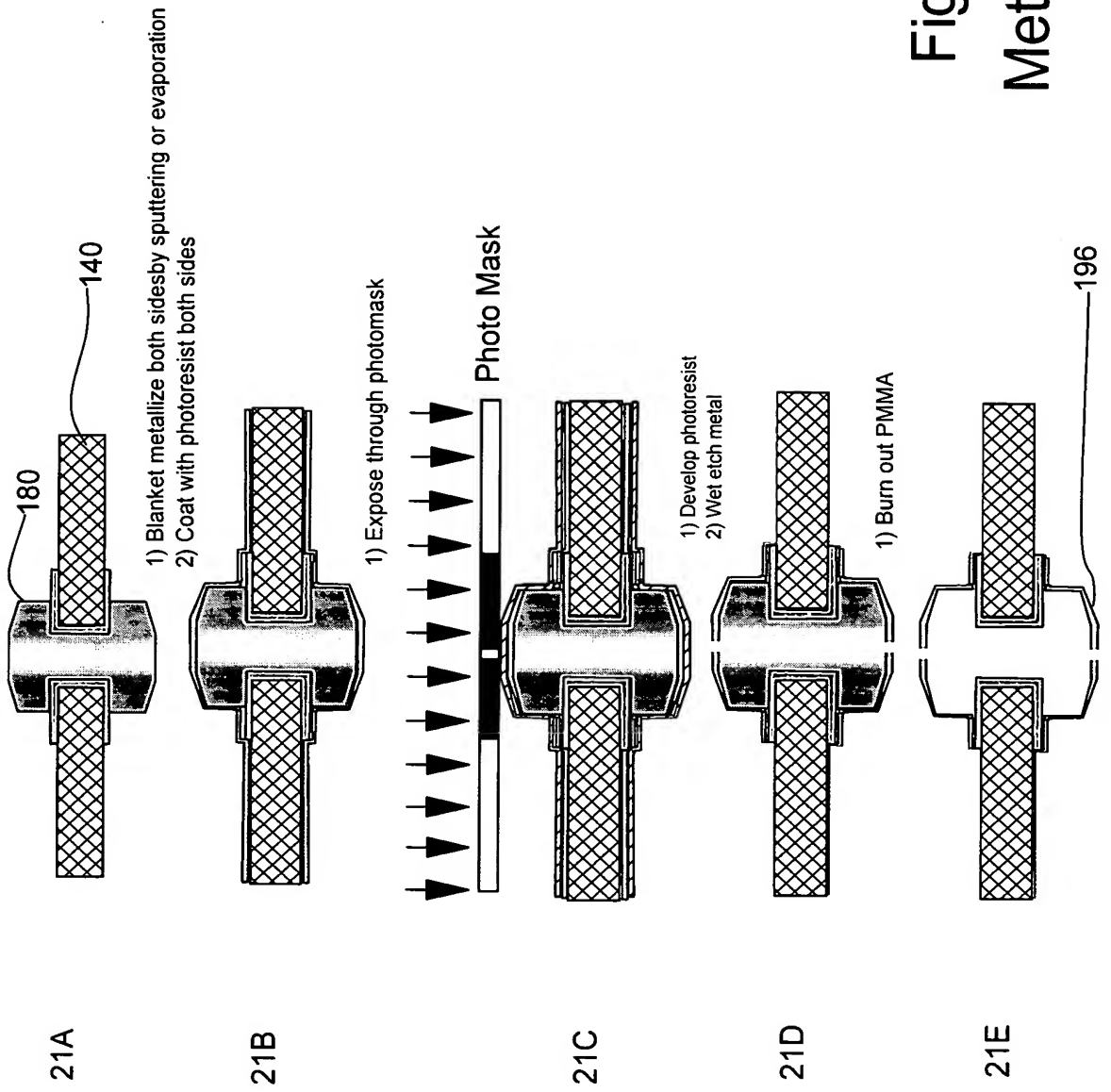


Fig. 21
Method 2

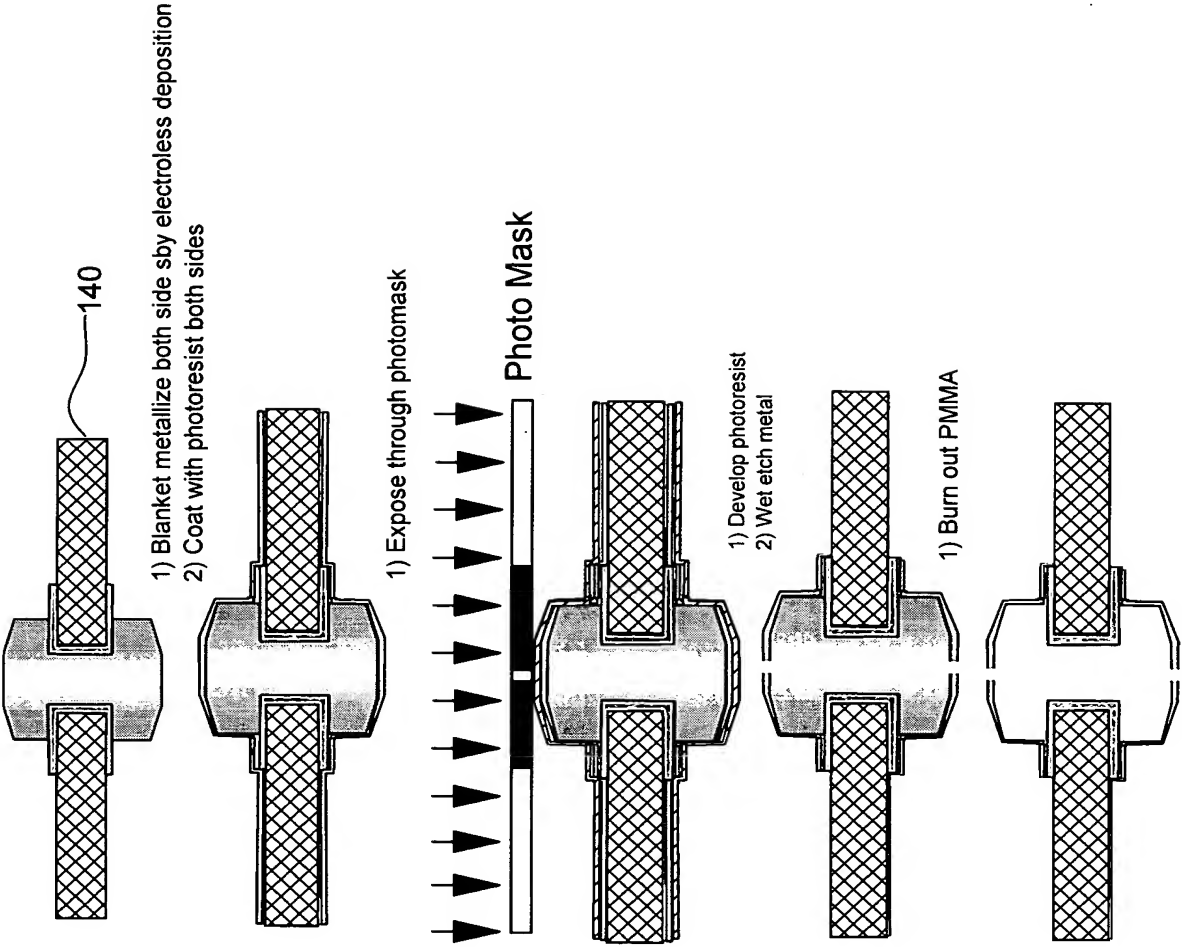


Fig. 22
Method 3

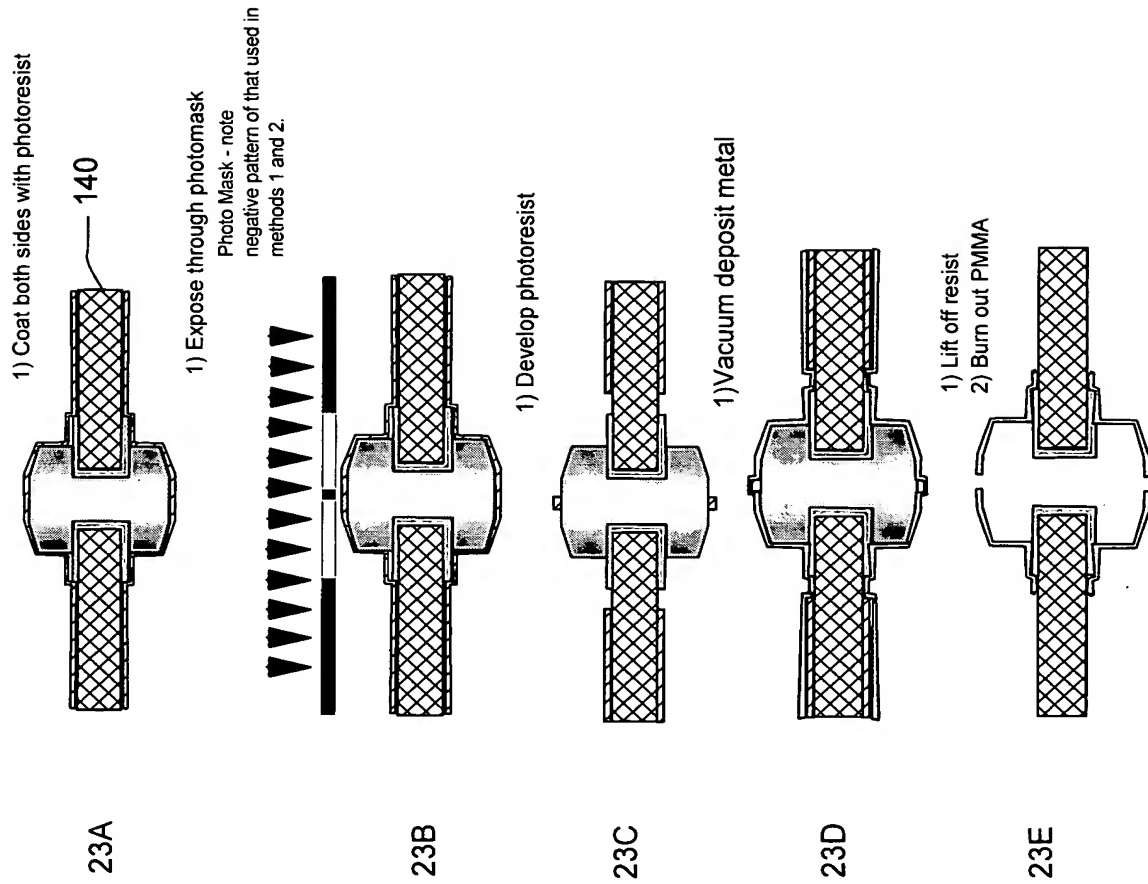


Fig. 23
Method 4

(cont. from figure 3).

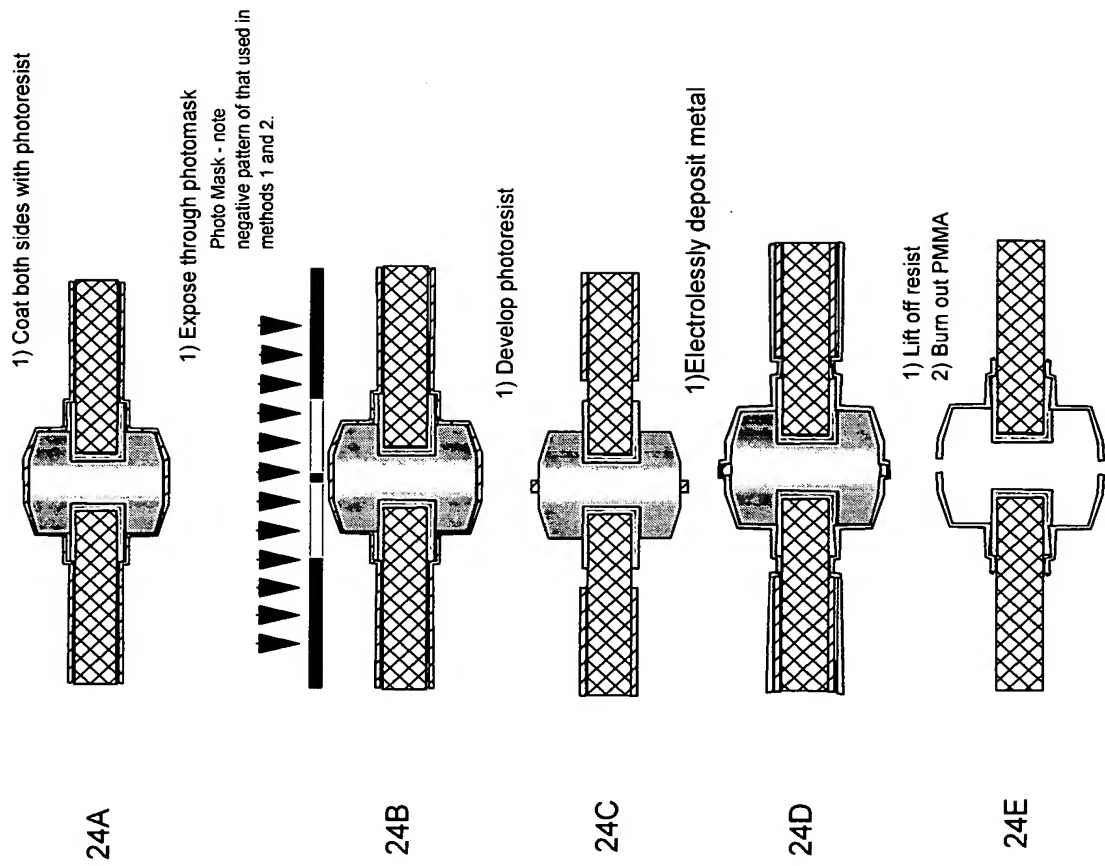


Fig. 24
Method 5

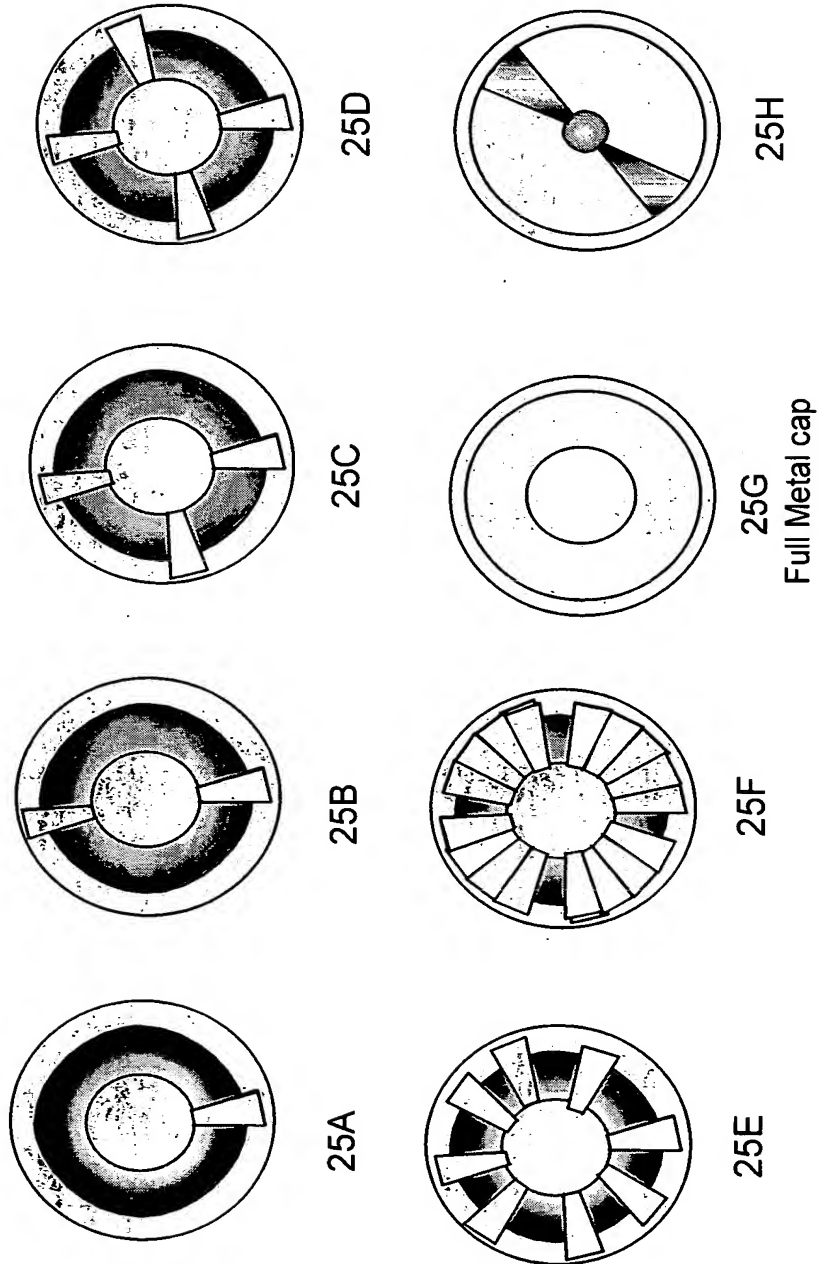


Fig. 25

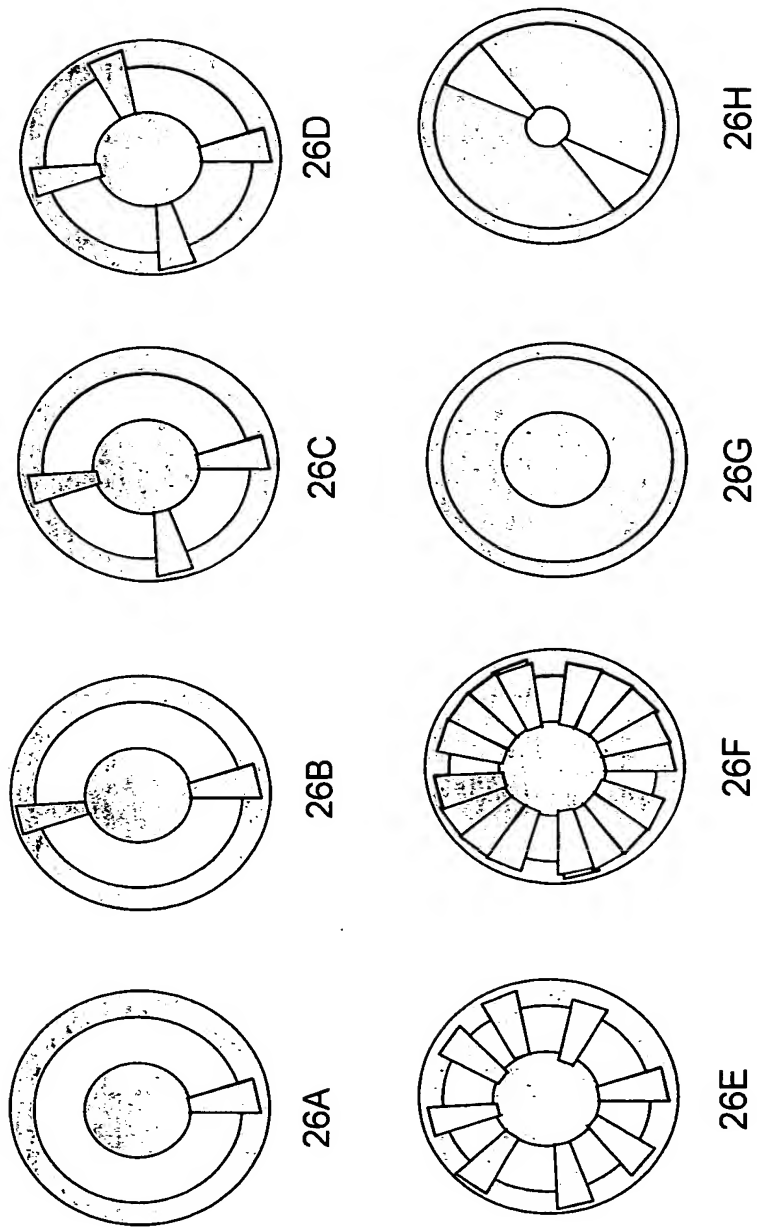


Fig. 26

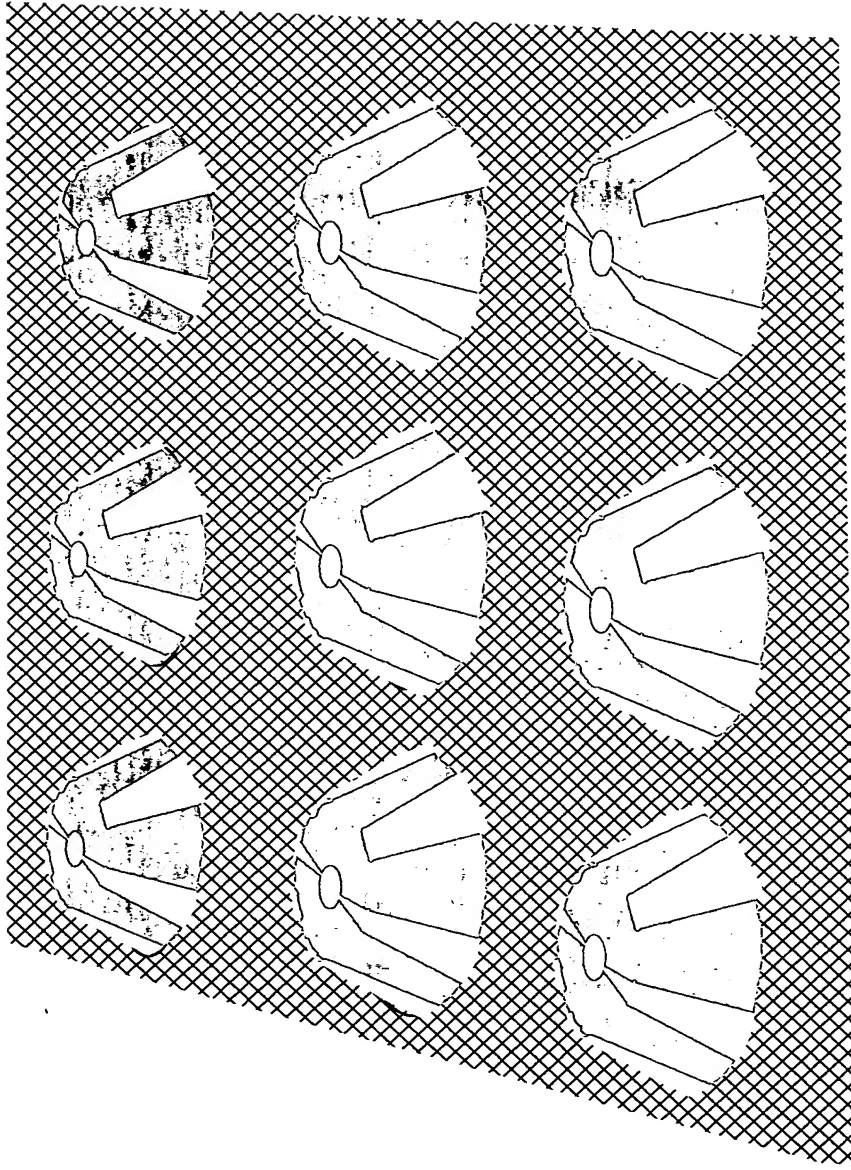


Fig. 27